

10; 12

© 1990 г.

**ТРАНСМИССИЯ И РАЗРЕШАЮЩАЯ СПОСОБНОСТЬ  
В РЕЖИМЕ СЕПАРАЦИИ ПРОМЕЖУТОЧНОЙ ОБЛАСТИ  
СТАБИЛЬНОСТИ КВАДРУПОЛЬНОГО ФИЛЬТРА МАСС**

*Г. И. Шагимуратов, Н. В. Коненков, С. С. Силаков, Г. А. Могильченко*

Представлены результаты исследования режима сепарации ионов в промежуточной области стабильности КФМ, локализованной вблизи параметров  $a=3.0$  и  $q=3.2$ . На основе численного расчета параметров эллипсона захвата определены трансмиссия КФМ, установлены эффективная апертура анализатора и допустимые значения скоростей влета ионов, рассмотрены эффекты фокусировки ионного пучка. Результаты эксперимента подтверждают качественно теоретические выводы. Предполагаемые области применения исследуемого режима — ВИМС, tandemная масс-спектрометрия, а также газовый анализ с повышенной разрешающей способностью.

Для ряда приложений, таких как tandemная масс-спектрометрия [1], масс-спектрометрия вторичных ионов [2], могут оказаться полезными ионно-оптические свойства ряда областей стабильности квадрупольного фильтра масс. К ним относим возможность сепарации по массам с относительно большим разбросом по энергиям анализируемых ионов и хорошей разрешающей способностью.

В данной работе исследуются характеристики режима сепарации ионов в области стабильности, локализованной вблизи параметров  $a=3$  и  $q=3.2$  [3]. Указанную область будем называть промежуточной, поскольку ее границы определяются характеристическими уравнениями первой и второй областей стабильности [4].

Некоторые характеристики этой области изучались теоретически ранее [3], но практического применения режим сепарации в промежуточной области не нашел [5]. Причиной этому, видимо, являлись необходимость использования более высоких рабочих напряжений (в 4.6 раза по сравнению с обычным режимом), конечность полосы пропускания ( $q/\Delta q \geq 34$ ) вследствие «природной» топологии данной области, наличие более сильных краевых полей.

### 1. Рабочая область стабильности

На рис. 1 показана рабочая область промежуточной зоны стабильности, где возможна аппаратурная перестройка полосы пропускания  $\Delta m$  фильтра масс

$$R \equiv \frac{m}{\Delta m} = \frac{q_M}{\Delta q} = \frac{0.170}{\lambda_M - \lambda} = \frac{1.100}{a_M - a_q}. \quad (1)$$

Здесь  $R$  — относительная разрешающая способность,  $m$  — масса иона,  $q_M = 3.23408$  и  $a_M = 3.16429$  — координаты вершины диаграммы стабильности,  $\Delta q$  — полоса пропускания по оси  $q$ ,  $\lambda = a/2q = U/V$  — отношение постоянной составляющей напряжения  $U$  к амплитуде  $V$  ВЧ напряжения на электродах анализатора;  $a = 2\lambda q$  — линия сканирования,  $a_q = 2\lambda q_M$ . Координаты  $a_q$  и  $q_M$  характеризуют положение центра полосы пропускания КФМ.

На рис. 1 приведены также изолинии характеристических показателей  $\beta_x$  и  $\beta_y$ , определяющих спектральный состав колебаний ионов по осям  $x$  и  $y$  КФМ. Для положительных ионов ось  $x$  проходит через вершины противоположных электродов фильтра масс, на которые подается положительный потенциал.

## 2. Параметры эллипсов захвата

Для определения условий ввода ионов в анализатор, расчета трансмиссии КФМ используем метод анализа фазового объема стабильных траекторий ионов на основе численного расчета параметров А, В, Г эллипсов захвата [6].

На рис. 2, а, б представлены зависимости параметров А, В, Г эллипсов захвата для  $x$ - и  $y$ -траекторий от начальной фазы влета  $\xi_0$ , рассчитанные матричным методом [4] с шагом  $\Delta \xi = \pi/400$ , где  $\xi =$

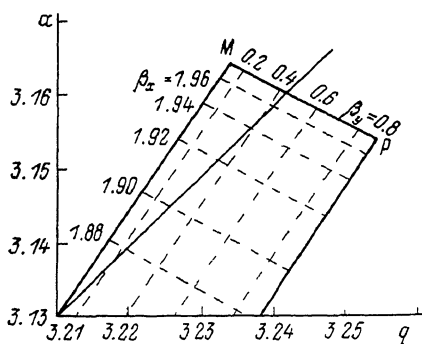


Рис. 1. Рабочая область промежуточной зоны стабильности.

$a=2 \lambda q$  — линия сканирования ( $\lambda=0.4875$ ).

$=\omega t/2$  — безразмерный параметр времени,  $\omega=2\pi f$  — круговая частота ВЧ поля.

Характер изменения А, В, Г от фазы влета  $\xi_0$  аналогичен для  $x$ -траекторий второй области стабильности, а для  $y$ -траекторий — первой области [6]. Поэтому с точки зрения понной оптики промежуточная область представляет собой «смесь» двух областей.

## 3. Условия ввода ионов

Для согласования источника ионов с фильтром масс важно знание эффективной апертуры КФМ и допустимых значений начальных скоростей  $\dot{x}_0$  и  $\dot{y}_0$ . Расчет начальных величин координат ионов  $x_0$  и  $y_0$  и скоростей  $\dot{x}_0$ ,  $\dot{y}_0$  в зависи-

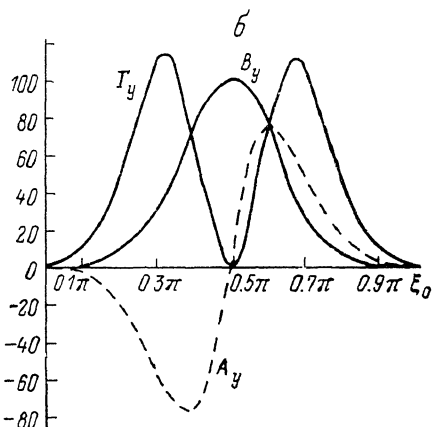
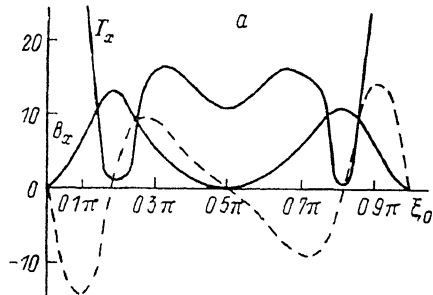


Рис. 2. Параметры эллипсов захвата в зависимости от фазы влета ионов.

$a=3.14429$ ,  $q=3.23408$ ,  $\beta_g=0.503$ ,  $\beta_x=1.933$ .

мости от разрешающей способности  $R$  (1) производим, используя выражение для максимального значения амплитуды  $u_{\max}$  колебаний иона, выраженного через начальные условия ввода  $u_0$ ,  $\dot{u}_0$  [6],

$$u_{\max} = [B_{\max} (\Gamma u_0^2 + 2A u_0 \dot{u}_0 + B \dot{u}_0^2)^{0.5}], \quad (2)$$

где  $B_{\max}$  — максимальное значение  $B(\xi_0)$  (рис. 2),  $u=x$  или  $y$ .

В выражении (2) предполагается, что время сортировки ионов велико.

Рассмотрим две физические ситуации: 1) на вход анализатора падает параллельный пучок ( $u_0=0$ ), 2) на вход анализатора падает узкий пучок ионов под некоторым углом ( $u_0 \neq 0$ ). В соответствии с (2) для двух указанных условий получим

$$u_0 = \frac{r_0}{\sqrt{B_{\max}}} \frac{1}{\pi} \int_0^{\pi} \frac{d\xi_0}{\sqrt{\Gamma(\xi_0)}}, \quad (3)$$

$$\dot{u}_0 = \frac{r_0 f}{\sqrt{B_{\max}}} \int_0^{\pi} \frac{d\xi_0}{\sqrt{B(\xi_0)}}, \quad (4)$$

где  $r_0$  — радиус поля анализатора [3] (радиус вписанной окружности между вершинами электродов). В (3) и (4) отражено усреднение величин  $u_0$  и  $\dot{u}_0$  по периоду фазы влета  $\xi_0$ .

Рассчитанные значения  $x_0$ ,  $\dot{x}_0$  и  $y_0$ ,  $\dot{y}_0$  от величины  $R$ , определяемой в соответствии с выражением (1), показаны на рис. 3. Шаг интегрирования методом трапеций в (3) и (4) составлял  $\Delta \xi_0 = \pi/20$ . Из рис. 3 следует, что при небольших  $R$  допустимые значения начальных положений ионов по оси  $x$  в два раза больше, чем по  $y$ . При дальнейшем уменьшении полосы пропускания при

$$R \simeq 3000 \quad x_0 = y_0. \quad (5)$$

Начальные скорости  $\dot{x}_0$  и  $\dot{y}_0$  отличаются более чем на два порядка. Обработка результатов рис. 3 дает, что при  $R \geq 100$

$$x_0 = 0.65 (\Delta m/m)^{0.48}, \quad \dot{x}_0 = 0.35 r_0 f (\Delta m/m)^{0.27}, \quad (6)$$

$$y_0 = 0.28 r_0 (\Delta m/m)^{0.28}, \quad \dot{y}_0 = 0.15 r_0 f (\Delta m/m)^{0.53}. \quad (7)$$

Для сравнения приведем аналогичные оценки для обычного режима сепарации [4]

$$x_0, y_0 = 0.56 r_0 (\Delta m/m)^{0.5}, \quad (8)$$

$$\dot{x}_0, \dot{y}_0 = r_0 f (\Delta m/m)^{0.5}. \quad (9)$$

Сравнение (6), (7) с (8), (9) показывает, что для получения 100%-ной трансмиссии при высокой разрешающей способности фильтра масс (без учета краевых полей) условия захвата по поперечным скоростям и начальными положениям выше, чем в первой области из-за более слабой зависимости  $\dot{x}_0(R)$  и  $\dot{y}_0(R)$ .

#### 4. Трансмиссия фильтра масс

Трансмиссия  $T$  характеризует долю прошедших ионов через КФМ при исходном распределении начальных координат и скоростей. Величина  $T$  рассчитывалась по формуле

$$T = \left( \sum_{i=1}^P \sum_{j=1}^M \sum_{k=1}^N T_{ij}^x T_{ik}^y \right) / PMN, \quad (10)$$

где  $P = 20$  — число интервалов разбиения начальной фазы  $\xi_0$  влета ионов;  $T_{ij}^x$  и  $T_{ik}^y$  — элементы матриц, определяемые как

$$T_{ij}^x = \begin{cases} 1, & \text{если } x_{\max} < r_0, \\ 0, & \text{если } x_{\max} \geq r_0, \end{cases}$$

$$T_{ik}^y = \begin{cases} 1, & \text{если } y_{\max} < r_0, \\ 0, & \text{если } y_{\max} \geq r, \end{cases} \quad (11)$$

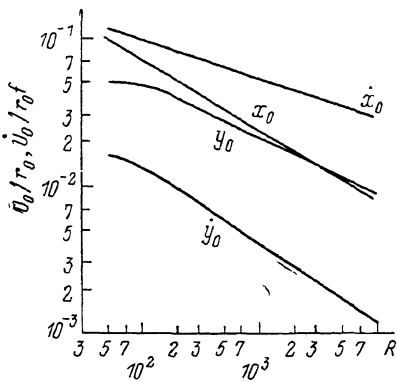


Рис. 3. Максимальные значения координат и скоростей в зависимости от разрешающей способности  $R$ .

$i$  — номер интервала  $\Delta \xi_0 = \pi/20$  фазы влета;  $j, k$  номера начальных координат и скоростей по осям  $x$  и  $y$  соответственно.

В расчетах выбиралось  $M=N=40$ , что обеспечивало моделирование потока ионов с числом 32 000 за время, равное периоду ВЧ поля.

На рис. 4 представлены зависимости трансмиссии  $T$  от фазы влета  $\xi_0$  ионов при различных значениях разрешающей способности  $R$ . Сплошным линиям соответствует ввод параллельного оси анализатора пучка ионов ( $\dot{u}_0=0$ ) квадратного сечения с площадью  $\eta=0.1\%$  квадратной апертуры  $4r_0^2$ . При небольших величинах  $R$  эффективно идет захват ионов при фазах влета  $0, \pi/2, \pi$ . В отличие от первой области [6] максимум трансмиссии при высоких  $R$  приходится на фазу  $\pi/2$ .

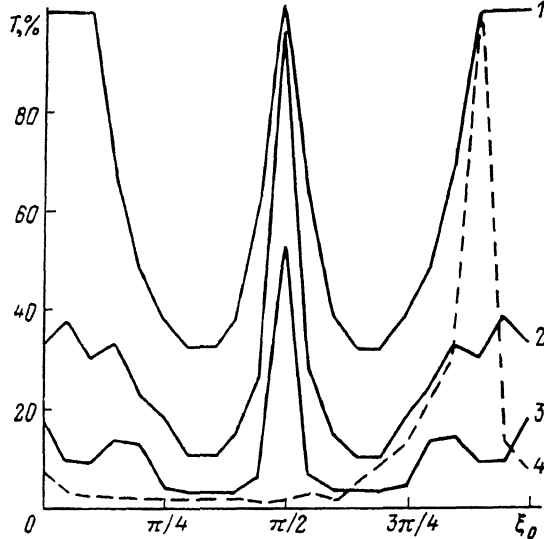


Рис. 4. Зависимость трансмиссии  $T$  от фазы влета ионов при различных значениях разрешающей способности.

$$\eta=0.1\%; 1 - 55, 2 - 500, 3 - 2000, 4 - 4000; \dot{u}_0 = -2u_0.$$

Фокусировка ионов на вход анализатора моделировалась заданием расположения начальных скоростей по закону  $\dot{u}_0 = -pu_0$ . Зависимость  $T(\xi_0)$  для случая  $p=2$  и  $R=4000$  представлена штриховой кривой 4. Максимум трансмиссии в этом случае приходится на  $\xi_0 = 9\pi/10$  и смещается на  $\xi_0 = \pi/10$  при  $p=-2$ . Полученный результат указывает на эффективность фокусировки пучка на вход анализатора, что иллюстрируется на рис. 5. Влияние фокусировки отчетливо выражено при высоких значениях  $R$ . Анализ показывает, что чем больше эффективная площадь сечения пучка и выше  $R$ , тем отчетливее проявление максимума на зависимости  $T(p)$  (рис. 5). Здесь наиболее сильно происходит захват ионов по координате  $x$ , когда параметр  $A_x$  максимальен при  $\xi_0 = \pi/10$  и  $\xi_0 = 9\pi/10$  (рис. 2, a).

На рис. 6 приведены зависимости  $T(R)$  при различных значениях эффективной апертуры пучка квадратного сечения для случая  $\dot{u}_0=0$ . Сравнение данных рис. 5 с результатами работы [6] для первой области показывают, что трансмиссия в рассматриваемой области в 3 раза ниже, чем в обычном режиме сепарации.

## 5. Экспериментальные результаты

В экспериментальных исследованиях использовался КФМ с цилиндрическими электродами длиной 275 мм и диаметром 16 мм. Диаметр входной диафрагмы КФМ составляет 4 мм. Использовался источник ионов простой конструкции, содержащий двухэлементную экстрагирующую линзу. ВЧ генератор имел рабочую частоту 1 МГц и выходную амплитуду ВЧ напряжения до 3.2 кВ.

На рис. 7 представлены зависимости интенсивности массового пика ионов  $N_2^+$  от разрешающей способности  $R_{0.5}$ , определенной по 50%-му уровню высоты, для двух режимов: кривая 1 — обычный, 2 — промежуточной области.

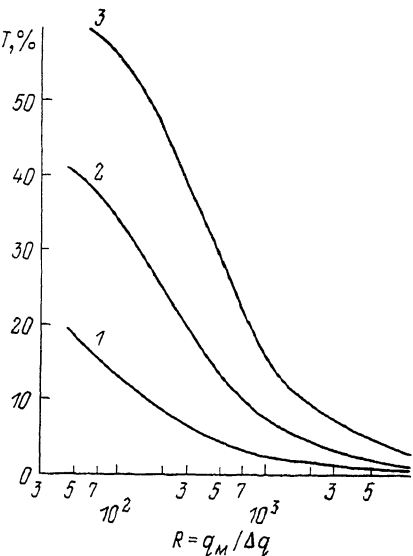
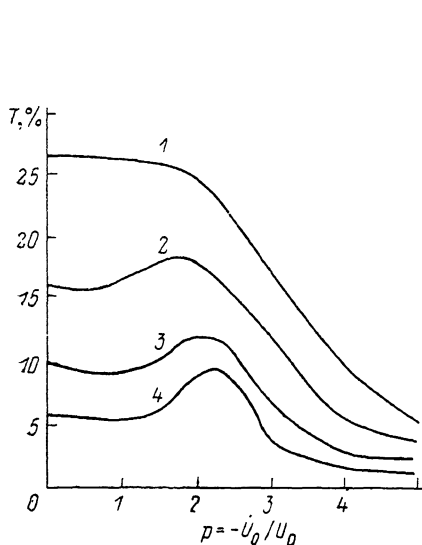


Рис. 5. Трансмиссия как функция параметра фокусировки  $p$  при различных величинах  $R$ .  
1 — 500, 2 — 1000, 3 — 2000, 4 — 4000;  $\eta=0.1\%$ .

Рис. 6. Зависимость трансмиссии от разрешающей способности при различных значениях параметров  $\eta = x_d^2/r_0^2 \cdot 100\%$ .  
1 — 1, 2 — 0.25, 3 — 0.1%;  $x_0=0$ .

Давление остаточной атмосферы вакуума  $10^{-5}$  Па, ток эмиссии электронов на анод источника ионов для кривой 1 20 мА, для кривой 2 40 мА при ускоряющей разности потенциалов соответственно 10 и 15 В. В соответствии с результатами численного анализа более высокая трансмиссия анализатора, работающего при высоких значениях разрешающей способности. В обычном режиме предельное значение разрешающей способности при указанных условиях составляет 470 (рис. 7), в то время как в режиме сепарации промежуточной области более 2000. Укажем здесь, что при энергиях ионов 18 эВ достигалась предельная разрешающая способность на ионах  $N_2^+$  60—90 М в режиме работы промежуточной области. Разрешающая способность в обычном режиме (рис. 7, кривая 1) ограничена временем сортировки, характеризуемая числом  $n$  периодов ВЧ поля пребывания стабильного иона в анализаторе [4],

$$R = n^2/h_1,$$

где в нашем случае  $h_1 \approx 9$ .

Это говорит о хорошем согласовании источника ионов и анализатора, поскольку, как правило,  $h_1 = 12-30$  [4] и зависит от ряда факторов. Для промежуточной области, выбирая не лучший вариант  $R=2000$  при энергии ионов 15 В, находим оценку  $h < 1.3$ . Таким образом, в режиме анализа промежуточной области при заданной разрешающей способности необходимое время сорти-

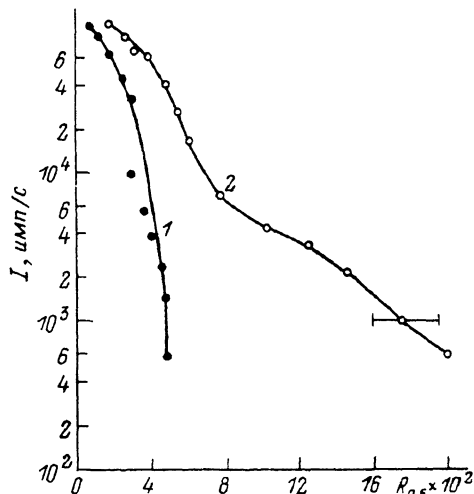


Рис. 7.

ровки ионов на порядок ниже, чем в первой области (обычный режим), что обусловлено более сильной зависимостью изменения характеристических показателей  $\beta_x$  и  $\beta_y$  в рабочей области параметров  $a$ ,  $q$  (рис. 1). Эти свойства области рис. 1 позволяют при обычных длинах анализаторов производить масс-анализ с высоким разрешением и большим разбросом по энергиям 10–100 эВ анализируемых ионов, что важно при сборе вторичных ионов в методе ВИМС. При хорошей трансмиссии КФМ в режиме работы промежуточной области легко наблюдается спектр масс легких ионов, начиная с  $m=1$  а. е. м.

Влияние краевых постоянных полей оценивалось косвенно по пропусканию ионов  $Xe^+$  с энергией 8 эВ. Достигается разрешающая способность  $R_{0.5}=3000$ .

## Выходы

1. Трансмиссия КФМ в режиме сепарации в промежуточной области в три раза хуже, чем в обычном режиме.
2. Максимум захвата ионов при малой полосе пропускания соответствует начальным фазам влета в случае параллельного пучка  $\pi/2$ , сходящегося и расходящегося при  $\pi/10$  и  $9\pi/10$ .
3. Оптимум параметра  $p$  фокусировки составляет  $\approx 2$ .
4. Эффективная апертура КФМ в промежуточной области выше, чем в первой.
5. Время сортировки ионов при заданной разрешающей способности меньше на порядок, чем в обычном режиме.
6. Наличие более сильных краевых полей не является критичным для реализации указанного режима.
7. Несмотря на ограниченность сверху полосы пропускания КФМ, легко осуществляется наблюдение спектра масс ионов с массой  $m=1$  а. е. м.

Таким образом, считаем, что результаты настоящей работы подтверждают практическую значимость режима сепарации в промежуточной области для целей ВИМС, tandemной масс-спектрометрии, а также газового анализа с повышенной разрешающей способностью.

## Список литературы

- [1] Glish C. L., McLuckey S. A. // *Analyt. Instrum.* 1986. Vol. 15 (1). P. 1–36.
- [2] Черепин В. Т. Ионный зонд. Киев: Наукова думка, 1981. 327 с.
- [3] Dawson P. H. // *J. Vac. Sci. Technol.* 1974. Vol. 11. N 6. P. 1151–1153.
- [4] Dawson P. H. Quadrupole mass spectrometry and its applications. Amsterdam, 1976. 274 p.
- [5] Слободенюк Г. М. Квадрупольные масс-спектрометры. М.: Атомиздат, 1974. 267 с.
- [6] Dawson P. H. // *Int. J. Mass. Spectrom. Ion Phys.* 1974. Vol. 14. P. 317–337.

Поступило в Редакцию  
1 ноября 1988 г.